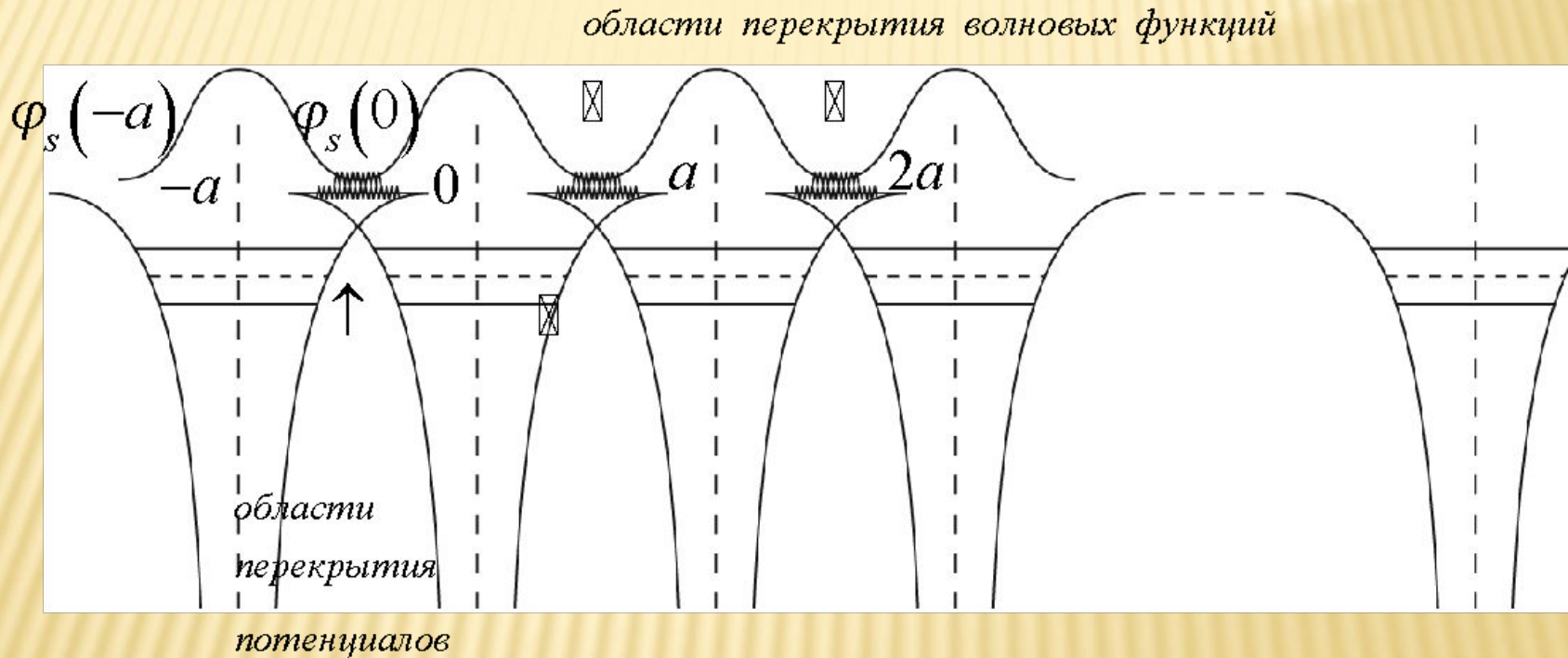


Лекция 13.

Приближение сильной связи. Характер перекрытия волновых функций атомов. Интеграл перекрытия. Эффективная масса электронов в приближение сильной связи. Зависимость ширины зоны от количества ближайших соседей. Спектр возбуждений для простой, ОЦК и ГЦК решеток

Приближение узкой зоны.



Волновые функции электронов идентичны для любого узла n , следовательно, есть вырождение по номеру узла.

$$H\psi(\mathbf{r}) = E\psi(\mathbf{r})$$

$$\psi(\mathbf{r}) = \sum_n C_n \varphi_s(\mathbf{r} - \mathbf{n})$$

Будем искать решение в виде линейной комбинации

узельных функций. Все узлы одинаковы (в силу решеточного устройства), следовательно,

$$1. |C_n|^2 = \frac{1}{N}$$

$$2. \psi(\mathbf{r} + \mathbf{n}_1) \equiv e^{i\mathbf{q}\mathbf{n}_1} \psi(\mathbf{r})$$

- волновая функция должна иметь блоховский вид

(т.к. это волновая функция электрона)

$$\text{Выберем } C_n = \frac{e^{i\mathbf{q}\mathbf{n}}}{\sqrt{N}}$$

Тогда первое условие автоматически выполняется, второе – тоже

$$\psi(\mathbf{r}) = \sum_n \frac{e^{i\mathbf{q}\mathbf{n}}}{\sqrt{N}} \varphi_s(\mathbf{r} - \mathbf{n})$$

$$\psi(\mathbf{r} + \mathbf{n}_1) = \sum_n \frac{e^{i\mathbf{q}\mathbf{n}}}{\sqrt{N}} \varphi_s(\mathbf{r} + \mathbf{n}_1 - \mathbf{n}) =$$

$$\sum_{\mathbf{n}'} \frac{e^{i\mathbf{q}\mathbf{n}'}}{\sqrt{N}} \varphi_s(\mathbf{r} - \mathbf{n}') \quad (\mathbf{n} = \mathbf{n}' + \mathbf{n}_1)$$

$$= \sum_{\mathbf{n}'} \frac{e^{i\mathbf{q}(\mathbf{n}' + \mathbf{n}_1)}}{\sqrt{N}} \varphi_s(\mathbf{r} - \mathbf{n}') = e^{i\mathbf{q}\mathbf{n}_1} \psi(\mathbf{r})$$

Домножим уравнение Шредингера слева на $\psi^*(\mathbf{r})$ и проинтегрируем

$$\int dr \rightarrow \psi^*(r) \rightarrow H\psi(r) = E\psi(r); \text{ получим:}$$

$$\int dr \psi^*(r) H\psi(r) = E \int |\psi(r)|^2 dr = E,$$

$$E = \int dr \sum_{n_1} \frac{e^{-iqn_1}}{\sqrt{N}} \varphi_s^*(r-n_1) H \sum_{n_2} \frac{e^{-iqn_2}}{\sqrt{N}} \varphi_s(r-n_2) =$$

$$\int dr \psi^*(r) H \psi(r)$$

$$= \frac{1}{N} \sum_{n_1} \sum_{n_2} e^{iq(-n_1+n_2)} \int dr \varphi_s^*\left(r-n_1\right) H \varphi_s\left(r-n_2\right) =$$

$$\int dr \varphi_s^*\left(r+n_2-n_1\right) H \varphi_s\left(r\right)$$

(Обозначим $\vec{r}' \equiv \vec{r} - \vec{n}_2$)

$$= \frac{1}{N} \left(\sum_{\vec{n}} \mathbf{1} \right) \sum_{\vec{n}} e^{i\vec{q}\vec{n}} \int d\vec{r}' \varphi_s^*(\vec{r}' + \vec{n}) \hat{H} \varphi_s(\vec{r}')$$

При этом мы учли, что $\hat{H} \Big|_{\vec{r}} = \hat{T} + U(\vec{r})$; $\hat{H} \Big|_{\vec{r} + \vec{n}} = \hat{T} + U(\vec{r})$,

$$U(\vec{r} + \vec{n}) \equiv U(\vec{r})$$

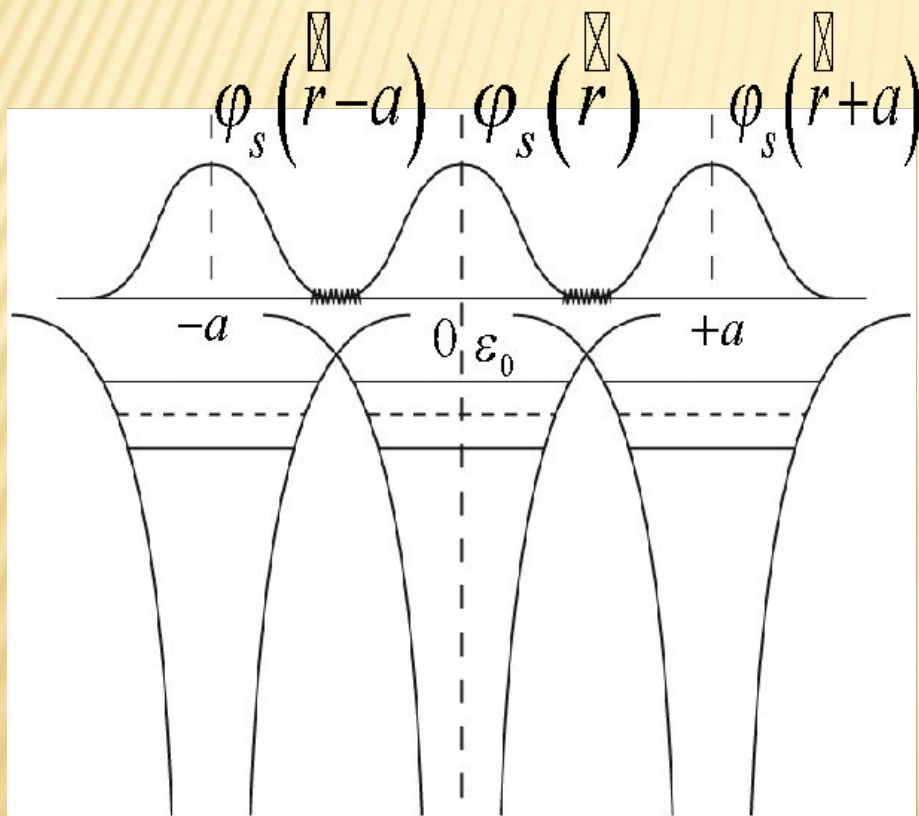
\hat{T} - это ∇^2 , не меняется из-за сдвига на постоянный вектор.

В результате получим:

$$E = \int d\vec{r} \varphi_s^*(\vec{r}) \hat{H} \varphi_s(\vec{r}) + \sum_{\vec{n} \neq 0} e^{i\vec{q}\vec{n}} \int d\vec{r} \varphi_s^*(\vec{r} + \vec{n}) \hat{H} \varphi_s(\vec{r})$$

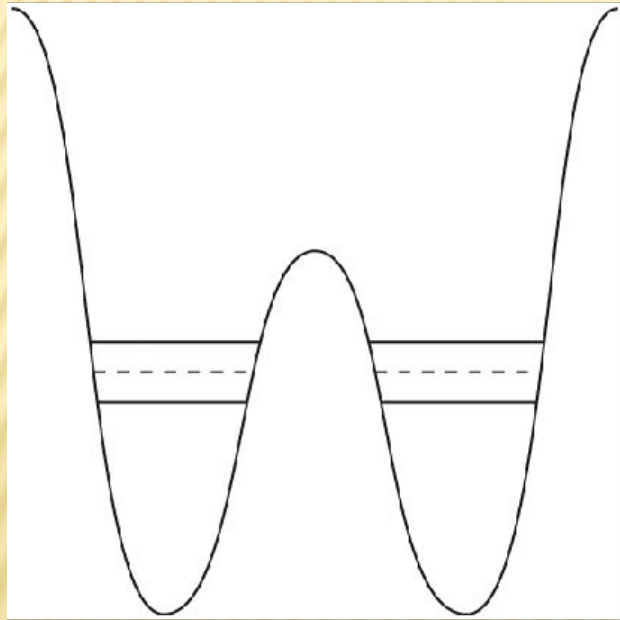
ε_a отличается от электронного уровня в изолированном атоме, так как учитывает искажение потенциала.

Второй интеграл дает не ноль только в областях перекрестия волновых функций, ближайших к нулевому узлу.



$$-t_g \equiv \int dr \varphi_s^*(r+g) H \varphi_s(r) \quad - \text{интеграл перекрытия}$$

g отличается от n выборкой ближайших к $n=0$ соседей.

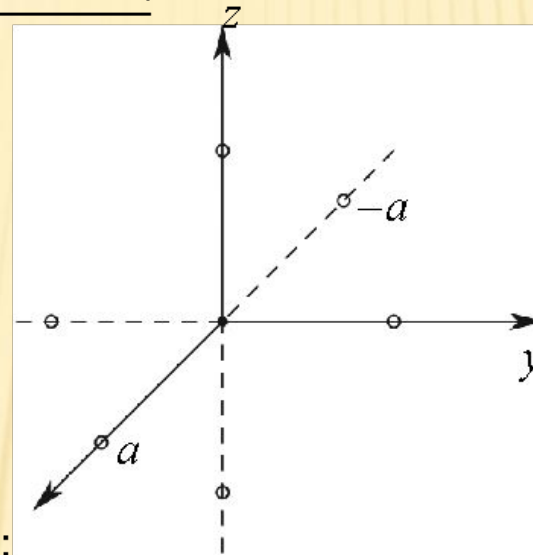


Посмотреть задачу про штаны Лифшица (в Ландау), там явно вычислена величина расщепления.

Написав $-t_g$, мы учитываем только нижний уровень (основное состояние) – он единственно возможен.

В итоге получаем

$$\boxed{\varepsilon(q) \varepsilon_a - \sum_{\vec{g}} e^{i\vec{q}\vec{g}} t_{\vec{g}}} \text{ - спектр в приближении сильной связи.}$$



Для простой кубической решетки (ПК):

$$\vec{g} = \begin{cases} (\pm a, 0, 0) \\ (0, \pm a, 0) \\ (0, 0, \pm a) \end{cases} t_{\vec{g}} \equiv t \text{ - одна и та же для всех направлений.}$$

Тогда в сумме по \vec{g} всего 6 слагаемых;

$$E(\vec{q}) = \varepsilon_a - t \left(e^{iq_x a} + e^{-iq_x a} + e^{iq_y a} + e^{-iq_y a} + e^{iq_z a} + e^{-iq_z a} \right) =$$

$$= \varepsilon_a - 2t \left(\cos q_x a + \cos q_y a + \cos q_z a \right)$$

Получилась явная аналитическая форма закона дисперсии для этой задачи.

$$E\left(\vec{q} + \frac{2\pi}{a}(m_1, m_2, m_3)\right) \equiv E(\vec{q}) \rightarrow -\frac{\pi}{a} < q_\alpha \leq \frac{\pi}{a}$$

Таким образом автоматически подтверждается периодичность, \vec{q} - квазиволновой вектор

$$\left. \begin{aligned} E(0) &= \varepsilon_a - 6t = E_{\min} \\ E\left(\frac{\pi}{a}(1,1,1)\right) &= \varepsilon_a + 6t = E_{\max} \end{aligned} \right\} E_{\min} \leq E(\vec{q}) \leq E_{\max}$$

Все значения энергии E образуют сплошную энергетическую зону.

1) Будем рассматривать электронные состояния вблизи минимума энергии:

$$q \ll 0 \rightarrow \cos q a \approx 1 - \frac{1}{2} (q a)^2$$

$$E(q \ll 0) \approx \varepsilon_a - 2t \left(1 - \frac{a^2}{2} q_x^2 + \dots + 1 - \frac{a^2}{2} q_y^2 + \dots + 1 - \frac{a^2}{2} q_z^2 + \dots \right) \approx$$

$$\approx (\varepsilon_a - 6t) + a^2 t (q_x^2 + q_y^2 + q_z^2) = E_{\min} + a^2 t q^2$$

$$E(q \ll 0) \approx E_{\min} + \frac{\hbar^2}{2m^*} q^2, \text{ где } \frac{\hbar^2}{2m^*} \equiv a^2 t \rightarrow \boxed{m^* = \frac{\hbar^2}{2a^2 t}}$$

Поскольку t - интеграл перекрытия, по мере уменьшения области перекрывания эффективная масса m^* растет, следовательно, взаимодействие падает (вся динамика сходит на нет), и наоборот.

2) Рассмотрим поведение энергии на границе зоны .

$$E\left(q - \frac{\pi}{a}(1,1,1)\right) \approx \varepsilon_a - 2t \left(\cos\left(\frac{\pi}{a} - \delta_x\right) + \cos\left(\frac{\pi}{a} - \delta_y\right) + \cos\left(\frac{\pi}{a} - \delta_z\right) \right)$$

$$\cos(\pi - a\delta_\alpha) = -\cos\delta_\alpha \approx -1 + \frac{a^2}{2}\delta_\alpha^2$$

δ_α - мало

$$\text{Тогда } E \approx \varepsilon_a - 2t \left\{ -1 + \frac{a^2}{2}\delta_x^2 - 1 + \frac{a^2}{2}\delta_y^2 - 1 + \frac{a^2}{2}\delta_z^2 \right\} =$$

$$= (\varepsilon_a + 6t) - \frac{a^2}{2} \cdot 2t (\delta_x^2 + \delta_y^2 + \delta_z^2) = E_{\max} - a^2 t \left(\frac{\pi}{a}(1,1,1) - q \right)^2$$

δ_α - компоненты вектора

$$E\left(q - \frac{\pi}{a}(1,1,1)\right) \approx E_{\max} - \frac{\hbar^2}{2m^*} \delta^2$$

Эффективная масса стала отрицательной, сохранив свою величину.

Мы все это уже получали из общих соображений, а теперь получили явно.

$$\left(\frac{1}{m^*}\right)^{\alpha\beta} = \frac{1}{\hbar^2} \frac{\partial E(\mathbf{q})}{\partial q_\alpha \partial q_\beta} = \frac{1}{\hbar^2} \frac{\partial^2}{\partial q_\alpha \partial q_\beta} (-2t) (\dots + \cos q_\beta a + \dots)$$

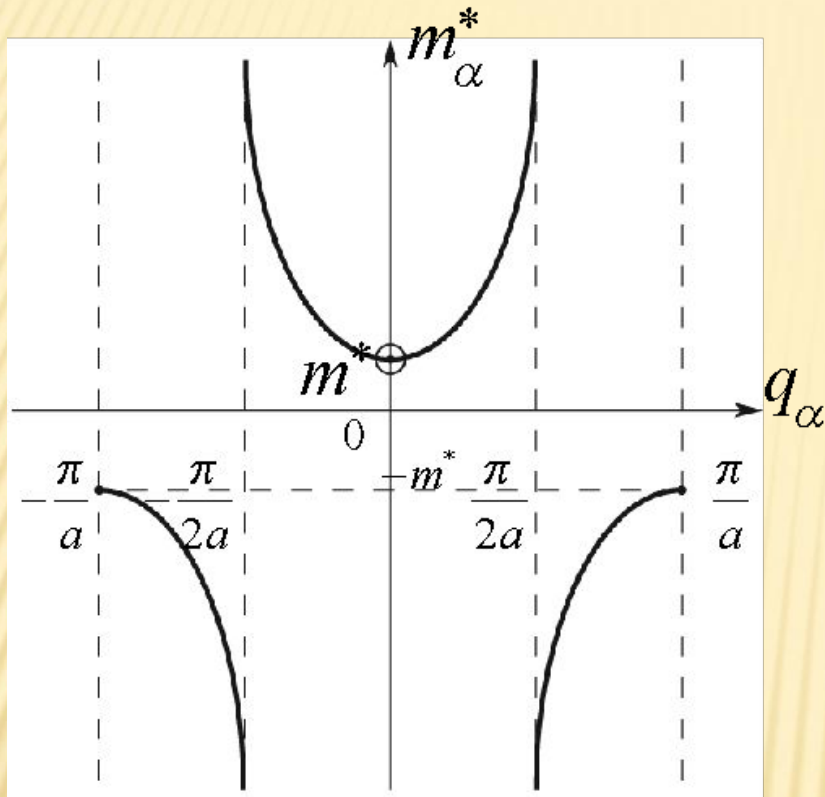
$$\boxed{\left(\frac{1}{m^*}\right)^{\alpha\beta} = \frac{\delta^{\alpha\beta}}{m^*} \cos q_\alpha a; m^* = \frac{\hbar^2}{2ta^2}}$$

Если определить $m_\alpha^* \equiv \left[\left(\frac{1}{m^*}\right)^{\alpha\alpha} \right]^{-1} = \frac{m^*}{\cos q_\alpha a^2}$

(здесь $\alpha\alpha$ - диагональные компоненты, суммирования нет).

Обращение косинуса в ноль происходит внутри первой ячейки и есть области, где где эффективной массы не существует.

$$m_\alpha^*$$



$$\Delta E = E_{\max} - E_{\min} = 12t \equiv 2t \cdot z$$

У нас $z = 6$ - число ближайших соседей.

$$\Delta E = 2t \cdot z$$

- это общая формула.

Чем меньше величина перекрытия, тем меньше ширина зоны (эффективная масса m^* возрастает).

Рассмотрим кубическую решетку; вставляем в нее такую же, размещая вершины в центрах главных диагоналей. Получаем объемно-центрированную решетку; 8 ближайших соседей;

расстояние до них равно половине главной диагонали, т.е. $\frac{a\sqrt{3}}{2}$.

ОЦК $\rightarrow \mathbb{X} = \frac{\sqrt{3}}{2} a (\pm 1, \pm 1, \pm 1)$; (задача для самостоятельного решения --получить

E_{\min} и E_{\max}). $z = 8$, Найти ΔE (будет такая же)

Аналогично, для ГЦК решетки :

ГЦК $\rightarrow \mathbb{X} = \frac{\sqrt{2}}{2} a \begin{cases} (\pm 1, \pm 1, 0) \\ (\pm 1, 0, \pm 1) \\ (0, \pm 1, \pm 1) \end{cases}$ 12 соседей ($z=12$)

$$\Delta E = 2t \cdot z$$